

УДК 621.314.27

Л. Э. РОГИНСКАЯ, Ю. М. ГУСЕВ, А. А. ШУЛЯК

ИССЛЕДОВАНИЕ ЭЛЕКТРОМАГНИТНЫХ ПАРАМЕТРОВ ТЕХНОЛОГИЧЕСКИХ КОМПЛЕКСОВ С ПОЛУПРОВОДНИКОВЫМИ ПРЕОБРАЗОВАТЕЛЯМИ ЧАСТОТЫ

Приведены результаты исследования электромагнитных процессов и оптимизация параметров ряда тиристорных преобразователей частоты, предназначенных для работы в качестве источников питания электротехнологических комплексов. Даны рекомендации по выбору оптимальной частоты, значений параметров реактивных элементов коммутирующего и нагрузочного контуров. Выбрана структура резонансных инверторов, выходное напряжение которых выше напряжения питания. Электротехнические комплексы; нагрузочные и коммутирующие контуры; оптимизация параметров; резонансные инверторы

Важным условием технического прогресса служит создание новых и модернизация существующих электротехнологических процессов, которые позволяют повысить производительность и улучшить условия труда, создать материалы с новыми, заранее заданными свойствами, являясь в то же время энергосберегающими.

Так как электротехнологические комплексы, обеспечивающие термообработку материалов, с помощью индукционного нагрева генерирование озона, заряд емкостных накопителей энергии и так далее, весьма разнообразны, разнообразны и требования, предъявляемые к источникам их электропитания.

Уфимский государственный авиационный технический университет и НКТБ «Вихрь» являются одними из ведущих организаций в области разработки, создания и исследования электротехнологических комплексов с полупроводниковыми преобразователями частоты.

При питании индукционных установок от тиристорных преобразователей частоты нередко возникает необходимость в регулировании электромагнитных параметров в ходе всего технологического процесса. Частотный способ регулирования, использующий резонансные свойства нагрузочного колебательного контура, является наиболее простым и удобным применительно к тиристорным преобразователям, выполненным на базе резонансных инверторов тока со встречно-параллельными диодами [1].

При индукционном нагреве металлов нагрузочный колебательный контур обычно имеет высокую добротность и при начальном режиме настраивается на частоту первой гармоники тока.

Со снижением частоты ниже резонансной эквивалентное реактивное сопротивление параллельного нагрузочного контура хотя и имеет индуктивный характер, но возрастает с уменьшением частоты, что приводит к снижению частоты собственных колебаний в коммутирующем контуре инвертора, к уменьшению пауз и появлению отсечки тока встречных диодов.

При увеличении частоты управления выше резонансной эквивалентное реактивное сопротивление нагрузочного контура имеет емкостный характер, но возрастает с ростом частоты, что вызывает увеличение частоты собственных колебаний коммутирующего контура инвертора, появление пауз и уменьшение времени, предоставляемого тиристорам на восстановление их управляемых свойств.

Таким образом, снижение и повышение частоты относительно резонансной приводят к изменению режима работы инвертора и всего преобразователя в целом не только по величине выходной мощности, но и по частоте собственных колебаний коммутирующего контура и времени восстановления тиристоров.

С помощью автоподстройки частоты управления тиристорами инвертора можно обеспечить номинальный режим его ра-

боты, поддерживая при этом максимальную выходную мощность в широком диапазоне изменения параметров нагрузочного колебательного контура [2].

Нагрузочные колебательные контуры — электротехнологические нагрузки, представляют собой систему индуктор—металл с различными видами емкостной компенсации, приведены на рис. 1. При $n = 1, k = \infty$ имеет место простой параллельный контур с последовательной схемой замещения индуктора, коэффициенты $n < 1, k = \infty$ соответствуют автотрансформаторному колебательному контуру $n = 1, k < \infty$ — последовательно-параллельному колебательному контуру.

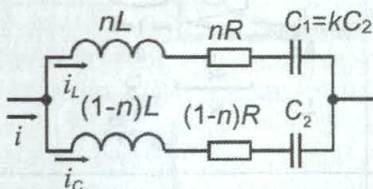


Рис. 1. Обобщенный нагрузочный контур

Считая выходной ток инвертора синусоидальным с амплитудой $\sqrt{2}I$, определим в относительных единицах частоты, при которых имеют место максимум мощности, резонанс токов ($\varphi = 0$), разность токов ($I_L - I_C$).

За базовые единицы приняты: $\omega_\delta = 1/\sqrt{LC_{\text{экв}}}$, причем для первых двух случаев $C_{\text{экв}} = C_2 = C$; для третьего — $C_{\text{экв}} = kC_2/(k+1)$; $L_\delta = R$, $I_\delta = I$, $P_\delta = I^2R$; добротность контура

$$Q = \sqrt{L/C_{\text{экв}}} / R = \rho/R.$$

В таблице приведены полученные зависимости в относительных единицах и частоты, при которых имеет место максимум мощности, резонанс токов ($\varphi = 0$), разность токов ($I_L - I_C$), равная нулю.

Из таблицы видно, что максимальное значение мощности имеет место, независимо от величин n и k , при частоте $\omega_p^* = \sqrt{1 - 1/2Q^2}$. Эта частота отличается и от резонансной частоты ($\varphi=0$) и от частоты, при которой равна нулю разность токов ($I_L - I_C$). Следует отметить, что все эти частоты отличаются также и от собственной частоты резонансных нагрузочных контуров, которая для всех их одинакова и равна $\omega_{\text{рез}}^* = \sqrt{1 - 1/4Q^2}$. Для получения максимальной мощности, очевидно, выходная частота преобразователя должна

быть равна ω_p , но в этом случае необходимо применение экстремального регулирования, что усложняет систему управления. Учитывая практическое равенство частот $\omega_p, \omega_\varphi, \omega_{LC}$, особенно при $Q \geq 4$, рационально для автоподстройки частоты использовать $\omega_\varphi, \omega_{LC}$, так как при этих частотах сдвиг фаз и разность токов в емкостной I_C и индуктивной I_L ветвях нагрузочного колебательного контура переходят через нуль.

При регулировании мощности уменьшением частоты выходной ток можно представить в виде импульсов, представляющих синусоиду с частотой ω_1^* , равной одному из значений $\omega_p^*, \omega_\varphi^*, \omega_{LC}^*$, а период повторения этих импульсов изменяется, т. е. частота их повторения равна ω_2^* . Подобную форму кривой можно разложить в ряд Фурье:

$$\begin{aligned} i_{\text{вых}} = & \sum_{\nu=1}^{\infty} \frac{2I\sqrt{2}\omega_1}{\omega_2} \times \\ & \times \sin\left(\nu \frac{\pi\omega_2}{\omega_1}\right) \frac{\sin(\nu\omega_2 t)}{(\omega_1/\omega_2)^2 - \nu^2}, \\ I_\nu^* = & \frac{I_\nu}{\sqrt{2}I} = \frac{2\omega_1}{\pi\omega_2} \times \\ & \times \sin\left(\nu \frac{\pi\omega_2}{\omega_1}\right) \frac{1}{(\omega_1/\omega_2)^2 - \nu^2}. \end{aligned} \quad (1)$$

Если $\omega_1/\omega_2 = \nu$, т. е. частота управления в целое число раз меньше резонансных частот, то мощность $I_\nu^2 R_\Theta$ в несколько раз превышает мощность от остальных гармоник токов.

На рис. 2, а–в приведены зависимости I_ν^* , $R_{\Theta\nu*}, P_\nu^* = f(\omega_2/\omega_1)$ для $\nu = 1, 2, 3$. Нетрудно заметить, что мощность нагрузочного контура имеет ряд максимумов, величина которых убывает с увеличением ω_2/ω_1 , а частота, при которой имеет место этот максимум, практически совпадает с $\omega_2 = \omega_1/\nu$.

Следовательно, для любого контура (рис. 1) регулирование мощности может осуществляться в диапазоне от максимального до минимального значений, что для $\nu = 1$ соответствует диапазону

$$0,7 \leq \omega^* \leq \sqrt{1 - 1/2Q^2},$$

а для $\nu = 2$ — диапазону

$$0,35 \leq \omega^* \leq \frac{1}{2} \sqrt{1 - 1/2Q^2}.$$

Сложность электромагнитных процессов в резонансных инверторах (рис. 3) с электротехнологической сложной нагрузкой обусловлена наличием двух резонансных контуров: нагрузочного, параллельного, R_H, L_H, C_H

Таблица

№	k, n	Мощность P^* , R_3^* , I_L^*	Фазовый угол φ_{uI}		Разность токов $I_L^* - I_C^*$
1	$k = \infty$, $n = 1$	$R_3^* = \frac{1}{\omega^{*2}/Q^2 + (1 - \omega^{*2})^2}$, $\omega_p^{*2} = 1 - 1/2Q^2$	$\varphi_{uI} = \arctg Q\omega^* (\omega^{*2} - 1 + 1/Q^2)$ $\omega_P^{*2} = 1 - 1/Q^2$		$I_L^* - I_C^* = \frac{1 - \omega^* \sqrt{\omega^{*2} + 1/Q^2}}{\sqrt{\omega^{*2}/Q^2 + (1 - \omega^{*2})^2}}$, $\omega_{LC}^2 = -\frac{1}{2Q^2} + \sqrt{1 + 1/4Q^4}$
2	$k = \infty$, $0 < n < 1$	$R_3^* = n(1 - n) + \frac{n^2}{\omega^{*2}/Q^2 + (1 - \omega^{*2})^2}$, $\omega_p^{*2} = 1 - 1/2Q^2$	$\varphi_{uI} = \arctg Q\omega^* \times$ $\times \frac{\omega^{*4}(1 - n) - \omega^{*2}(2 - n - (1 - n)/Q^2) + 1 - n/Q^2}{(1 - n)(\omega^{*2}/Q^2 + (1 - \omega^{*2})^2) + n}$, $\omega_P^{*2} = \frac{1}{2} \left(\frac{2 - n}{1 - n} - \frac{1}{Q^2} \right) \pm$ $\pm \sqrt{0,25 \left(\frac{2 - n}{1 - n} - \frac{1}{Q^2} \right)^2 - \frac{1 - n/Q^2}{1 - n}}$		$I_L^* - I_C^* = \frac{\sqrt{[1 - (1 - n)\omega^{*2}]^2 + (1 - n)^2\omega^{*2}/Q^2} - n\omega^* \sqrt{\omega^{*2} + 1/Q^2}}{\sqrt{(\omega^{*2}/Q^2 + (1 - \omega^{*2})^2)}},$ $\omega_{LC}^2 = \frac{1}{2} \left[\frac{2(1 - n)}{1 - 2n} - \frac{1}{Q^2} \right] \pm$ $\pm \sqrt{\left[\frac{2(1 - n)}{1 - 2n} - \frac{1}{Q^2} \right]^2 \cdot 0,25 - \frac{1}{1 - 2n}}$
3	$0 < k < n$, $n = 1$	$R_3^* = \left(\frac{k}{k+1} \right)^2 \times$ $\times \frac{1}{\omega^{*2}/Q^2 + (1 - \omega^{*2})^2}$, $\omega_p^{*2} = 1 - 1/2Q^2$	$\varphi_{uI} = \arctg \frac{Q(k+1)}{-k\omega^*} \times$ $\times \left[\omega^{*4} - \omega^{*2} \left(\frac{k+2}{k+1} - \frac{1}{Q^2} \right) + \frac{1}{k+1} \right],$ $\omega_P^{*2} = \frac{1}{2} \left(\frac{k+2}{k+1} - \frac{1}{Q^2} \right) \pm$ $\pm \sqrt{0,25 \left(\frac{k+2}{k+1} - \frac{1}{Q^2} \right)^2 - \frac{1}{k+1}}$		$I_L^* - I_C^* = \frac{1}{(k+1)\sqrt{\omega^{*2}/Q^2 + (1 - \omega^{*2})^2}} \times$ $\times \left[k - \sqrt{(k+1)^2\omega^{*2}/Q^2 + (1 - (k+1)\omega^{*2})^2} \right]$ $\omega_{LC}^2 = \frac{1}{2} \left(\frac{2}{k+1} - \frac{1}{Q^2} \right) \pm$ $\pm \sqrt{0,25 \left(\frac{2}{k+1} - \frac{1}{Q^2} \right)^2 - \frac{1 - k}{1 + k}}$

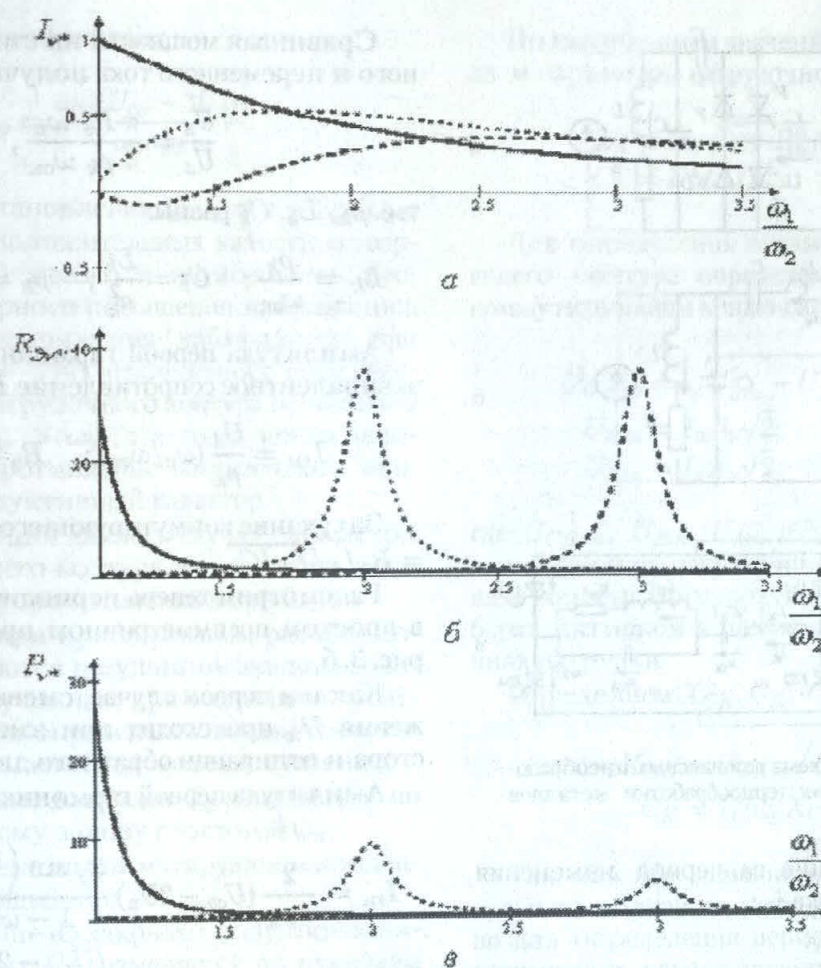


Рис. 2. Зависимости $I_{\nu*}$ (а), $R_{\nu*}$ (б) и $P_{\nu*}$ (в) от ω_2/ω_1 : — $\nu = 1$; $\nu = 2$; -·- $\nu = 3$

и последовательного, коммутирующего, L_k , C_k , которые охвачены единственным электромагнитным процессом. Свойства данных контуров различны. Собственная частота нагрузочного контура

$$\omega_h = (1 - D_h^2/4)^{1/2} \omega_{oh},$$

где $\omega_{0h} = 1/\sqrt{L_h C_h}$, $D_h = R_h / \sqrt{L_h C_h}$, равна или весьма близка к частоте управления ω_y (рис. 3, б, в), либо кратна ей (рис. 3, а, б), а затухание D_h равно $0,1 \dots 0,15$. Собственная частота коммутирующего контура ω_k больше частоты ω_h (рис. 3, а), либо ω_y (рис. 3, б, в) и равна соответственно

$$(1 - D_k^2/4)^{1/2} \omega_{0k},$$

где $\omega_{0k} = 1/\sqrt{L_k C_k}$, $D_k = R_s / \sqrt{L_k C_k}$, а R_s — эквивалентное затухание коммутирующего контура, определяющее энергетические процессы в преобразователях (таблица).

Обычно затухание коммутирующего контура значительно больше, чем нагрузочного, и равно $0,6 \dots 2$.

Так как взаимодействие двух резонансных контуров определяется энергообменом, мало зависящим от формы кривой напряжения на зажимах, удобно принять, что напряжение нагрузки изменяется по прямоугольному закону. Значение U_h примем равным среднему значению напряжения на нагрузке: $U_h = 2U_{hm}/\pi$, а период изменения U_h — равным $2\pi/\omega_h$. Рассмотрим периодический процесс для преобразователя (рис. 3, а).

Ток в коммутирующем контуре, равный току в вентилях, протекает под действием двух ЭДС:

$$U_d + U_h (\pi \geq \omega_{ok} t \geq 0); \\ U_d - U_h (2\pi \geq \omega_{ok} t \geq \pi).$$

Длительность протекания тока через вентильную пару меньше, чем период выходного напряжения и $\omega_h \approx (0,7 \div 0,9)\omega_{ok}$.

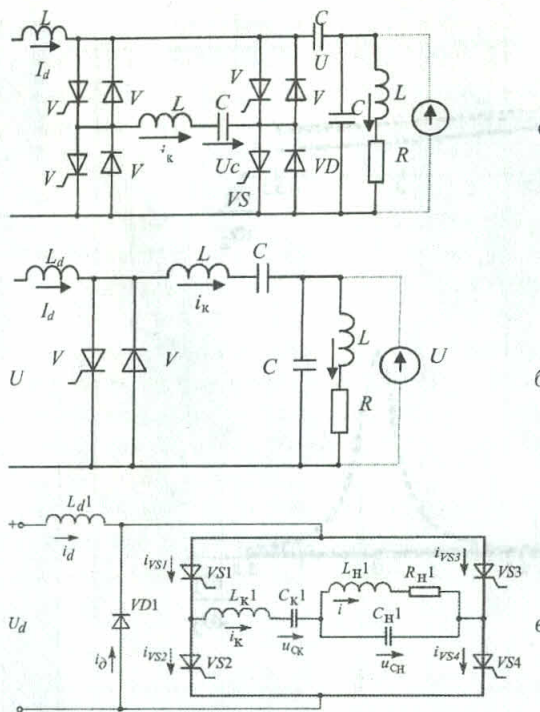


Рис. 3. Расчетная схема резонансных преобразователей частоты для термообработки металлов

Среднее значение за период изменения ($0 \leq \omega_{\text{ок}} t \leq 2\pi$) тока i_k :

$$i_{k\text{ср}} = I_d = 2U_{\text{H}}/\pi\omega_{\text{ок}}\rho_{\text{k}}. \quad (2)$$

Мощность, потребляемая на стороне выпрямленного тока: $P_d = U_d I_d$.

Мощность на стороне переменного тока соответствует мощности нагрузки и определяется величиной первых гармоник тока и напряжения.

Первые гармоники тока I_{SM} , I_{CM} равны:

$$I_{SM} = \frac{2U_d\omega_{\text{H}} \sin(\pi\omega_{\text{H}}/\omega_{\text{ок}})\omega_{\text{ок}}}{\pi\rho_{\text{k}}(1 - \omega_{\text{H}}^2/\omega_{\text{ок}}^2)}; \quad (3)$$

$$I_{CM} = \frac{4U_{\text{H}}\omega_{\text{H}} \cos^2(\pi\omega_{\text{H}}/2\omega_{\text{ок}})}{\pi\rho_{\text{k}}\omega_{\text{ок}}(1 - \omega_{\text{H}}^2/\omega_{\text{ок}}^2)}.$$

Если $\omega_{\text{H}}/\omega_{\text{ок}} = 0,7 \div 0,9$, токи с достаточной степенью точности можно заменить $I_{SM} = \frac{U_d}{\rho_{\text{k}}}(\omega_{\text{H}}/\omega_{\text{ок}})$; $I_{CM} \approx 0$.

Отношение максимальных значений токов через тиристор и диод (3), (4):

$$\frac{I_{T\text{max}}}{I_{d\text{max}}} = \frac{U_d + U_{\text{H}}}{U_d - U_{\text{H}}}, \quad (4)$$

Это отношение изменяется в инверторах в пределах (2 ... 3), т. е. $U_{\text{H}} = (0,33 \div 0,5)U_d$.

Сравнивая мощности на стороне постоянного и переменного тока получим:

$$\frac{U_{\text{H}}}{U_d} = \frac{\pi R_{\Theta} \omega_{\text{H}}}{4\rho_{\text{k}}\omega_{\text{ок}}}, \quad (5)$$

т. е. $\rho_{\text{k}}, L_{\text{k}}, C_{\text{k}}$ равны:

$$L_{\text{k}} = \frac{\rho_{\text{k}}}{\omega_{\text{ок}}}; \quad C_{\text{k}} = \frac{L_{\text{k}}}{\rho_{\text{k}}^2}; \quad \rho_{\text{k}} = \frac{2U_{\text{H}}U_d\omega_{\text{H}}}{\pi\rho\omega_{\text{OK}}}.$$

Амплитуда первой гармоники тока I_{sm} и эквивалентное сопротивление R_{Θ}

$$I_{sm} = \frac{U_d}{\rho_{\text{k}}}(\omega_{\text{H}}/\omega_{\text{ок}}); \quad R_{\Theta} = \frac{2P_{\text{H}}}{I_{sm}^2}.$$

Затухание коммутирующего контура $D_k = R_{\Theta}/\sqrt{L_k/C_k}$.

Рассмотрим теперь периодический режим в простом несимметричном преобразователе рис. 3, б.

Как и в первом случае, смена знака напряжения U_{H} происходит при запирании тиристора и отпирании обратного диода.

Амплитуда первой гармоники тока равна:

$$I_{sm} = \frac{2}{\pi\rho_{\text{k}}} (U_{co} - 2U_{\text{H}}) \frac{\omega_y \sin\left(\frac{\pi\omega_y/\omega_{\text{ок}}}{\omega_{\text{ок}}}\right)}{1 - \omega_y^2/\omega_{\text{ок}}^2} \approx \frac{(U_{co} - 2U_{\text{H}})}{\rho_{\text{k}}} \omega_y/\omega_{\text{ок}};$$

Сравнивая мощности на стороне постоянного и переменного тока, получим:

$$\frac{U_{\text{H}}}{U_d} = \frac{\pi}{4} \frac{(\omega_y/\omega_{\text{ок}})R_{\Theta}}{\rho_{\text{k}}(1 - \omega_y/\omega_{\text{ок}})}.$$

Согласно [3] максимальное напряжение на вентильной паре можно определить так ($\omega_{\text{H}} = \omega_y$):

$$U_{T\text{max}} \approx \frac{U_d}{(1 - \omega_y/\omega_{\text{ок}})}.$$

Следовательно, чтобы $U_{T\text{max}}$ не превышало (2 ... 2,5) U_d , величина $\omega_y/\omega_{\text{ок}}$ должна изменяться в пределах (0,5 ... 0,6) при $\omega_{\text{H}} = \omega_y$. В этом случае $\omega_{\text{ок}}/\omega_y = (1,7 \dots 2)$ и

$$\frac{U_{\text{H}}}{U_d} = \frac{\pi}{4} (0,7 \div 1) \approx 0,55 \div 0,75.$$

Средние токи через вентили определяются из следующих соотношений:

$$I_{T\text{ср}} = \frac{\omega_y(U_{co} - 2U_{\text{H}})}{\omega_0\pi\rho_{\text{k}}};$$

$$U_{co} = 2U_{\text{H}} + \frac{U_d}{1 - \omega_y/\omega_{\text{ок}}}.$$

Средний ток через диод

$$I_{\text{дср}} = \frac{\omega_y (U_{\text{co}} - 3U_{\text{H}})}{\omega_0 \pi \rho_k}.$$

Время восстановления $t_{\text{восст}} = \pi - 2\alpha/\omega_{ok}$.

Одним из положительных качеств инвертора (рис. 3, в) является возможность бесстабилитраторного повышения напряжения. Повышение напряжения наблюдается при небольших ($\approx 7\%$) отклонениях собственной частоты нагрузочного контура от частоты управления $\omega_{\text{H}*} > \omega_{\text{y}*}$, т. е. тогда, когда эквивалентное сопротивление нагрузочного контура имеет индуктивный характер.

Определим для данного случая параметры коммутирующего контура, а также токи и напряжения полупроводниковых приборов.

Принятые при приближенном расчете допущения являются результатом анализа зависимостей, полученных при машинном моделировании. Для определения параметров инвертора принимаем следующие допущения:

- напряжение нагрузки U_{H} изменяется по синусоидальному закону с частотой ω_{H} ;
- напряжение на коммутирующем конденсаторе синусоидально;
- напряжение на закрытых полупроводниковых приборах U_B изменяется по отрезкам синусоиды, так как является суммой синусоидальных напряжений U_{H} и U_{CK} ;
- ток источника питания имеет постоянную величину, равную I_d .

Считая схему нагрузочного контура и соотношение его параметров при резонансе таким же, как в инверторе (рис. 3, а, б), запишем выражения для R_{e} , X_{e} , Z_{e} для общего случая в относительных единицах, приняв за базовые $\omega_b = 1/\sqrt{L_{\text{H}}C_{\text{H}}}$; $R_b = \sqrt{L_{\text{H}}/C_{\text{H}}}$. Очевидно, частота, при которой имеет место резонансный режим, $\omega_{\text{H}*} = \sqrt{1 - D_{\text{H}}^2}$.

Ток нагрузки равен

$$I_{\text{H}} = \frac{P_{\text{H}}}{U_{\text{H}} \cos \varphi_{\text{H}}}.$$

Эквивалентные сопротивления R_{e} , X_{e} равны:

$$\begin{aligned} R_{\text{e}} &= \frac{P_{\text{H}}}{I_{\text{H}}^2}; \\ X_{\text{e}} &= \frac{K_y R_{\text{H}} (1 - K_y^2 - D_{\text{H}}^2)}{D_{\text{H}*} [(K_y D_{\text{H}})^2 + (1 - K_y^2)^2]}; \\ R_{\text{H}} &= R_{\text{e}} [(K_y D_{\text{H}})^2 + (1 - K_y^2)^2]. \end{aligned}$$

По полученным значениям R_{e} , K_y определяем параметры нагрузочного контура:

$$\begin{aligned} L_{\text{H}} &= R_{\text{H}} \sqrt{1 - D_{\text{H}}^2} / (\omega_{\text{H}} D_{\text{H}}); \\ C_{\text{H}} &= D_{\text{H}}^2 L_{\text{H}} / R_{\text{H}}^2. \end{aligned}$$

Для определения параметров коммутирующего контура определим напряжение на коммутирующем конденсаторе:

$$\begin{aligned} U_{CKm} &= \sqrt{U_{Bm}^2 - U_{Am}^2} + U_{Xm}; \\ U_{Am} &= I_{\text{H}} R_{\text{e}} \sqrt{2}; \\ U_{Xm} &= I_{\text{H}} X_{\text{e}} \sqrt{2}, \end{aligned}$$

где U_{CKm} , U_{Bm} , U_{Am} , U_{Xm} – максимальные значения напряжения на коммутирующем конденсаторе, полупроводниковых приборах, активном и индуктивном сопротивлениях нагрузки.

Определяем X_{CK} , C_K :

$$\begin{aligned} X_{CK} &= U_{CKm} / (\sqrt{2} I_{\text{H}}); \\ C_K &= 1 / (\omega_y X_{CK}). \end{aligned}$$

Так как U_B изменяется по отрезку синусоиды вблизи ее максимума [3], то можно для определения периода T_K изменения параметров коммутирующей цепи принять $U_B \approx \text{const} = U_{B\max}$ и для $K_y = \sqrt{1 - D_{\text{H}}^2}$

$$\frac{U_d}{U_{Bm}} \approx \frac{T_y - T_K}{T_K},$$

откуда с учетом машинного анализа, вводя коэффициенты K_{d1} , K_{d2} , учитывающие влияние K_y , получим

$$T_K = T_y \left(1 - \frac{U_d}{U_{Bm}} K_{d1} \right) K_{d2},$$

где $K_{d1} = 1/K_y$; $K_{d2} = 3/4K_y$; $\omega_K = 2\pi/T_K$; $L_K = 1/(C_K \omega_K^2)$.

Для выбора тиристоров и диодов определим $t_{\text{восст}}$ и максимальные токи $I_{T\max}$, $I_{\text{дmax}}$.

Ток в контуре при проводимости всех плеч моста:

$$i_K = U_{CKm} \exp(-D_{K\text{e}} \omega_K t) \sin \omega_K t / \rho_K,$$

где $D_{K\text{e}} = 2D_{\text{H}} U_{\text{H}}^2 / (P_{\text{H}} \rho_K)$.

Время восстановления определяется временем, в течение которого $i_K > I_d$, т. е.

$$t_{\text{восст}} \approx \frac{[\pi - 2 \arcsin(I_d/I_{km})] T_k}{2\pi},$$

где максимальный ток в коммутирующем контуре

$$I_{Km} \approx U_{CKm} \exp(-D_{K9}\pi/4)/\rho_K.$$

К наиболее распространенным электротехнологиям относятся также электросинтез озона и импульсные нагрузки, потребляющие энергию, накопленную в электрическом поле конденсатора [4, 5]. В обоих случаях рационально применить источник питания с звеном повышенной частоты [4].

Источник питания представляет собой соединение двух блоков — последовательного тиристорного (или транзисторного) инвертора напряжения с обратными диодами и высоковольтного повышающего трансформатора и нагрузки: озонатора или высоковольтного выпрямителя, нагруженного на накопительный конденсатор [5].

Для исследования электромагнитных процессов трансформатор представляется схемой замещения, емкость накопительного конденсатора приведена к первичной обмотке. Схема замещения озонатора представляет собой две последовательно соединенных емкости: барьера C_b и газового промежутка C_{pr} ($C_{pr} \ll 0,1C_b$), причем к зажимам C_{pr} подключен диодный выпрямитель, нагруженный на противо-ЭДС E , равную приведенному напряжению пробоя U_{pr} . Схема преобразователя приведена на рис. 4.

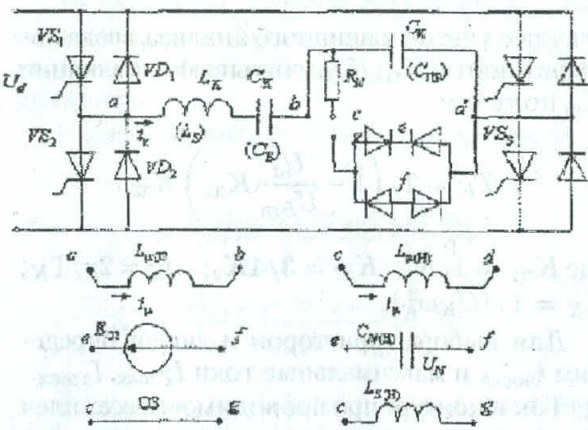


Рис. 4. Расчетная схема инвертора для генерирования озона и заряда емкостного накопителя энергии

При идеальном трансформаторе ($L\mu = \infty$; $L_s, R_n, C_p = 0$) и идеальном промежутке ($C_{pr} = 0$) электромагнитные процессы в преобразователе для обоих видов нагрузки практически идентичны.

Если преобразователь используется как источник питания озонатора, то коммутирующим элементом Ск является емкость барьера озонатора C_b .

Среднее значение тока через C_N и E постоянно и равно: $I_{CP} = 2U_d/\pi\rho$.

Если нагрузкой является озонатор, то потребляемая мощность источника постоянна и равна $P = 4U_dE/\rho$.

Наличие индуктивности рассеяния L_s (ОЗ) реального трансформатора при выборе соответствующей конструкции позволяет использовать ее в качестве коммутирующего элемента (рис. 4).

Отношение типовой мощности трансформатора к активной потребляемой мощности определится следующим образом:

— для накопителя

$$K_u = \frac{S_{\text{тип}}}{P} = \frac{2\sqrt{2}}{\pi \left[1 + \left(\frac{4NC_b}{C_N} \right)^2 \right]^{1/2}},$$

— для озонатора

$$K_u = \frac{S_{\text{тип}}}{P} = \frac{2\sqrt{2}}{\pi \left[1 + \left(\frac{E}{U_d} \right)^2 \right]^{1/2}},$$

где N — номер периода.

Изменение $L\mu$ путем введения воздушного зазора позволяет увеличить K_u . Установление связи между параметрами высоковольтного блока и выходными параметрами модуля позволяет определить рациональные значения $L\mu$, L_s и C_p трансформатора, способствующие увеличению коэффициента K_u при озонаторной нагрузке и оптимизации процесса заряда накопительного конденсатора.

Таким образом, анализ электромагнитных процессов в резонансных преобразователях частоты, предназначенных для использования в качестве источников питания электротехнологических комплексов, позволяет выбрать наиболее рациональные параметры нагрузочных и коммутирующих контуров и тем самым обеспечить требуемый режим работы комплекса в целом. Исследуемые комплексы успешно реализуются для термообработки металлов — закалки, нагрева заготовок, пайки твердосплавных изделий, плавки в индукционных печах, генерирования озона, разрядно-импульсных нагрузок.

СПИСОК ЛИТЕРАТУРЫ

- Белкин А. К., Костюкова Т. П., Рогинская Л. Э., Шуляк А. А. Тиристорные преобразователи частоты. М.: Энергоатомиздат, 2000. 263 с.
- Казанцев В. Г., Рогинская Л. Э. Анализ способов автоподстройки частоты автономных инверторов, нагруженных на колебательный контур // Электротехника. 1994. № 10. С. 17–20.
- Беркович Е. И., Ивенский Г. В., Иоффе Ю. С. Тиристорные преобразователи повышенной частоты для электротехнологических установок. Л.: Энергоатомиздат, 1983. 208 с.
- Булатов О. Г., Царенко А. И., Поляков В. Д. Тиристорно-конденсаторные источники питания для электротехнологии. М.: Энерготехатомиздат, 1989. 300 с.
- Рогинская Л. Э., Рахимов Б. Э., Казанцев В. Г. Анализ электромагнитных параметров цепи при окончании процесса заряда накопительных конденсаторов // Измерительные преобразователи и информационные технологии: Межвуз. науч. сб. Уфа, 1996. С. 194–198.

ОБ АВТОРАХ



Рогинская Любовь Эммануиловна, профессор, каф. ЭМ УГАТУ. Дипл. инж.-электромеханик (НГТУ, 1959). Д-р техн. наук по полупроводниковым преобразователям электроэнергии (МЭИ, 1994). Исследования в области полупроводниковых преобразователей частоты и взаимоиндуктивных модулей.



Гусев Юрий Матвеевич, профессор, зав. каф. пром. электроники УГАТУ. Дипл. инженер (ЛПИ, 1960). Д-р техн. наук по управлению авиационными и космическими системами (заш. в ЦИАМ, 1980). Исследования в области управления, многокритериальной оптимизации, автоматизации проектирования электронных установок.



Шуляк Александр Анатольевич, доцент той же кафедры. Дипл. инж.-электромеханик (УАИ, 1973). Канд. техн. наук по системам управления (УАИ, 1989). Исследования в области управляемых полупроводниковых преобразователей частоты.